

بررسی پارامترهای خشک شدن لایه نازک جبهه‌های انار در خشک‌کن ترکیبی خلاً - خورشیدی

بهنام علائی^۱، رضا امیری چایجان^{۲*}

۱- دانشجوی کارشناسی ارشد، گروه مهندسی بیوسیستم، دانشگاه بوعالی سینا، همدان

۲- دانشیار گروه مهندسی بیوسیستم، دانشگاه بوعالی سینا، همدان

(تاریخ دریافت: ۹۱/۹/۲۳ تاریخ پذیرش: ۹۲/۴/۸)

چکیده

در این تحقیق یک دستگاه جدید آزمایشگاهی خشک‌کن خلاً-خورشیدی برای بررسی رفتار خشک‌کردن جبهه‌های انار در فشارهای مختلف خلاً و با منبع حرارتی خورشیدی طراحی و ساخته شد. آزمایش‌های خشک کردن جبهه‌های انار در چهار سطح فشارهای مطلق ۱۰، ۲۰، ۴۰ و ۶۰ کیلوپاسکال انجام شدند. تأثیر فشارهای مختلف خشک‌شدن بر رفتار کاهش رطوبت، ضریب نفوذ رطوبت موثر، رنگ و چروکیدگی جبهه‌های انار در طی فرآیند خشک‌شدن در خشک‌کن خلاً-خورشیدی مورد بررسی قرار گرفت. با تحلیل رگرسیونی برای مدل‌های مورد بررسی مشخص شد که مدل میدیلی بهترین برآش را با داده‌های تجربی به دست آمده نشان می‌دهد. نتایج نشان داد با کاهش فشار مطلق، زمان خشک شدن جبهه‌های انار کاهش می‌یابد. کمترین زمان خشک شدن مربوط به فشار مطلق 10 کیلوپاسکال بود. ضریب نفوذ رطوبت موثر جبهه‌های انار در خشک‌کن خلاً-خورشیدی بین $10^{-1} \text{ تا } 10^{-1} \times 10^{-1} \text{ مترمربع بر ثانیه}$ به دست آمد. تغییرات کلی رنگ جبهه‌های انار بین $17/2$ تا $22/1$ و درصد چروکیدگی بین $67/58 \text{٪}$ تا $74/45 \text{٪}$ به دست آمد.

کلید واژگان: خشک‌کن خلاً-خورشیدی، جبهه‌ی انار، رنگ، چروکیدگی، ضریب نفوذ رطوبت موثر

* مسئول مکاتبات: amirireza@basu.ac.ir

خشک کن‌های صنعتی برای مقابله با اثرات نامطلوب خشک کردن و بالا بردن کیفیت و ارزش تغذیه‌ای محصول خشک شده از یک روش بالقوه مفید به نام خشک کردن تحت خلاً استفاده می‌شود. در خشک کن تحت خلاً امکان حذف رطوبت در فشارهای کم فراهم می‌شود [۸]. در خلاً به دلیل افزایش اختلاف فشار بین داخل و خارج نمونه، انتقال جرم نیز افزایش می‌یابد. در نتیجه می‌توان با صرف انرژی کمتر در حرارت‌های پایین‌تر رطوبت را از محصول جدا کرد. با این روش کیفیت محصول خشک شده افزایش می‌یابد. در فشارهای پایین محصول به از دست دادن رطوبت مستعدتر است اما برای کاهش رطوبت محصول نیاز به یک منع حرارتی می‌باشد تا با ایجاد انرژی سبب تبخیر رطوبت محصول شود [۹]. در این تحقیق برای اولین بار سعی شد که با ترکیب مرحله‌ای خشک کن خلاً و خشک کن خورشیدی غیرمستقیم، از انرژی تابشی خورشید به عنوان منع تأمین گرما در خشک کن خلاً استفاده شود. همچنین بررسی رفتار خشک شدن جبهه‌های انار تحت شرایط خلاً با منع حرارتی خورشیدی و مطالعه ویژگیهای ضریب نفوذ رطوبت موثر، رنگ و چروکیدگی جبهه‌های انار به عنوان محصول نمونه در طی فرآیند خشک شدن از اهداف این پژوهش می‌باشد.

۲- مواد و روش‌ها

۱-۱- روش اندازه‌گیری رطوبت اولیه

انار تازه رقم ملس ساوه از شهرستان ساوه تهیه شد. نمونه‌ها به منظور حفظ رطوبت در داخل پلاستیک چند لایه قرار داشده و در یخچال در دمای 10°C ± 3 نگهداری شدند. برای به دست آوردن مقدار رطوبت اولیه جبهه‌های انار، نمونه‌ها در یک آون خشک کن در دمای 10°C ± 70 ساعت قرار داده شدند و بعد از آن هر یک ساعت یکبار وزن شدند و در پایان دو اندازه‌گیری متوالی که تغییرات وزن نمونه‌ها کمتر از یک درصد شد، مقدار رطوبت اولیه محاسبه گردید [۱۰]. محتوای رطوبت اولیه جبهه‌های انار در حدود $3/5$ بر پایه خشک به دست آمد. رطوبت نهایی جبهه‌ها در اناهای آزمایشها به حدود $0/09$ بر پایه خشک رسید.

۱- مقدمه

انار (*Punica granatum* L) از میوه‌های مهم مناطق نیمه گرمسیری ایران است. موطن اصلی انار خاورمیانه به ویژه ایران است. ارزش تغذیه‌ای و خواص درمانی، سازگار با شرایط آب و هوایی و عمر نگهداری بالا از دلایل کشت این محصول در مقیاس گسترده در کشور است [۱]. جبهه انان خشک شده منع خوبی از ویتامین‌ها و مواد معدنی است و می‌تواند به عنوان یک میان وعده در نظر گرفته شود [۲]. خشک کردن همیشه اهمیت زیادی در محافظت و افزایش عمر و ماندگاری محصولات کشاورزی داشته است. با این روش علاوه بر جلوگیری از فساد ماده غذایی به وسیله میکرووارگانسیم‌ها و یا واکنش‌های شیمیایی، وزن ماده غذایی کاهش یافته و صرفه‌جویی بسیاری در هزینه‌های حمل و نقل و نگهداری حاصل می‌شود [۳]. در مقایسه با سایر فعالیت‌ها جهت نگهداری مواد غذایی، خشک کردن انرژی زیادی به مصرف می‌رساند. انرژی خورشیدی یک منع رایگان، تجدیدپذیر و عاری از هر گونه آلودگی است. خشک کردن خورشیدی پرکاربردترین روش برای استفاده در محصولات کشاورزی مخصوصاً در کشورهای آسیایی است. در این روش محصولات بر روی سطحی صاف پخته می‌شوند و در معرض تابش مستقیم خورشید قرار می‌گیرند [۴]. خشک کردن جبهه‌های انار به وسیله خورشید یک روش متداول است اما سرعت انتقال رطوبت از محصول بسیار کم و زمان بر است [۵]. در خشک کردن به وسیله خورشید مشکل آلودگی به علت وجود گرد و غبار محیط و حمله حشرات وجود دارد، همچنین خشک کردن به وسیله خورشید بسیار به شرایط آب و هوایی وابسته است [۶]. استفاده از خشک کن‌های خورشیدی روشی مناسب برای استفاده از انرژی تابشی خورشید و برطرف کردن مشکلات روش‌های سنتی خشک کردن به وسیله خورشید است. خشک کن‌های خورشیدی به سه دسته مستقیم، غیرمستقیم و مختلط تقسیم بندی می‌شوند. در نوع مستقیم محصول در یک محفظه قرار داده می‌شود و نور خورشید به طور مستقیم از طریق پوشش شفاف به محصول می‌تابد. در نوع غیرمستقیم انرژی خورشید توسط یک جمع‌کننده خورشیدی جذب شده و هوای عبوری از جمع‌کننده را گرم می‌کند، سپس این هوای گرم برای خشک کردن محصول به کار می‌رود. در نوع مختلط از هر دو روش به طور همزمان استفاده می‌شود [۷]. در

تفکیک ۰/۰۰۱ گرم وزن شدنده. همچنین رطوبت محیط به وسیله رطوبت‌سنج دیجیتال (Lutron TM-903، ساخت تایوان) با درجه تفکیک ۰/۱ درصد و دمای آن به وسیله دماسنجدیتی (PSCH0001BCIJ، ساخت کره جنوبی) دماسنجدیتی با استفاده از دستگاه توان سنج خورشیدی (Tes-1333R، ساخت تایوان) با دقیق ۱۰°C ± ۱۰W/m² به دست آمد. Lutron RGB-1002 رنگ نمونه‌ها به وسیله آنالایزر رنگ ساخت تایوان) اندازه‌گیری شد. جمع‌کننده خورشیدی به شکل استوانه برای جذب انرژی خورشیدی از جهات مختلف تابش در طول روز و از جنس آهن با رنگ سیاه برای جذب بیشتر ساخته شد. پوشش نازک و شفاف به فاصله ۲/۳ سانتی‌متر از بدنه برای هدایت جریان هوا از پایین به بالا و یک مخزن مخروطی شکل در بالا برای جمع‌آوری هوای گرم برای انتقال به مخزن خلاً در زمان‌های مشخص نصب گردید. ارتباط بین مخزن جمع‌کننده خورشیدی و محفظه خلاً به وسیله شیر دستی قطع و وصل شد.

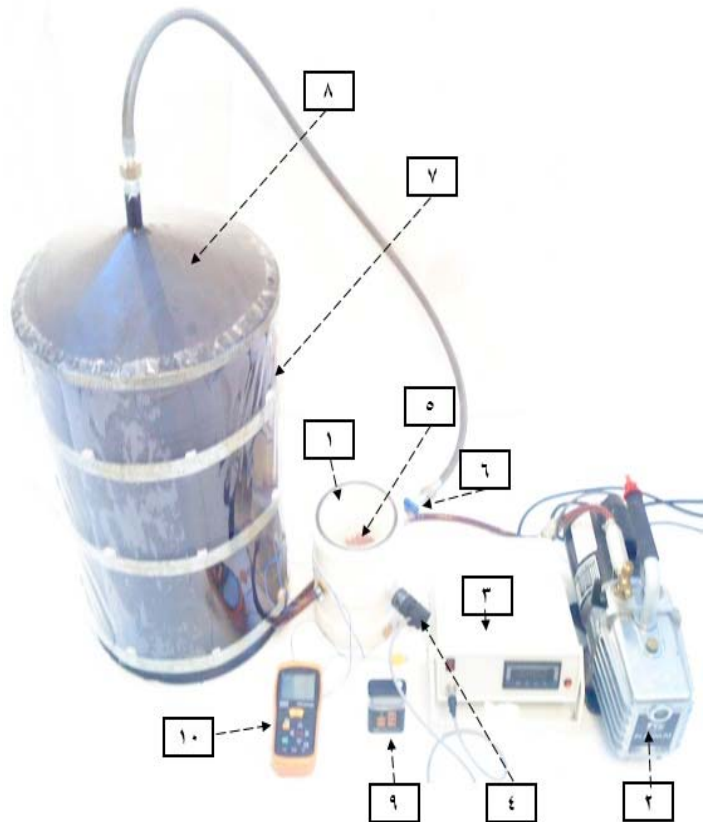
فرآیند خشک کردن شامل دو مرحله خشک شدن در شرایط خلاً و هوای گرم جمع‌کننده خورشیدی است. روش کار به این صورت است که نمونه‌های جبهه‌ای انار در محفظه خلاً قرار می‌گیرند. پمپ خلاً به مدت ۴ ثانیه روش می‌شود و هوای گرم را از جمع‌کننده خورشیدی به محفظه خلاً منتقل می‌کند، بعد از ۱۵ دقیقه شیر ارتباطی مخزن جمع‌کننده خورشیدی و محفظه خلاً بسته می‌شود و پمپ خلاً شروع به کار می‌کند تا فشار محفظه برای مدت ۱۵ دقیقه بر روی مقدار تعیین شده ثابت شود. این روند تا پایان فرآیند خشک شدن نمونه‌ها ادامه یافت. آزمایش‌ها در ۴ سطح فشار مطلق ۱۰، ۲۰، ۴۰ و ۶۰ کیلو پاسکال در ساعت ۱۰:۰۰ شروع شدند. نسبت رطوبت جبهه‌ای انار در طول فرآیند خشک شدن با استفاده از رابطه ۱ محاسبه شد:

$$MR = \frac{M - M_e}{M_o - M_e}$$

که در آن MR نسبت رطوبت (بدون بعد)، M میزان رطوبت در هر لحظه (کیلوگرم ماده جامد/کیلوگرم آب)، M_e رطوبت تعادلی (کیلوگرم ماده جامد/کیلوگرم آب) و M_o محتوای رطوبت اولیه (کیلوگرم ماده جامد/کیلوگرم آب) می‌باشد. مقدار M در زمان‌های طولانی خشک کردن در مقایسه با

۲-۲- طرح خشک کن خلاً- خورشیدی

نمای خشک کن خلاً- خورشیدی ساخته شده برای این پژوهش در شکل ۱ نشان داده شده است.



شکل ۱ نمای خشک کن آزمایشگاهی خلاً- خورشیدی (۱- محفظه خشک کن، ۲- پمپ خلاً، ۳- سیستم کنترل فشار، ۴- سنسور فشار، ۵- ظرف نمونه‌ها، ۶- شیر و اتصالات، ۷- جمع کننده خورشیدی، ۸- مخزن جمع کننده خورشیدی، ۹- توان سنج خورشیدی، ۱۰- ترمومتر)

خشک کن شامل یک محفظه خلاً به ابعاد قطر داخلی ۱۲۰ میلی‌متر، ارتفاع ۲۳۰ میلی‌متر و ضخامت ۲۰ میلی‌متر از جنس تفلون به منظور حفظ حرارت ساخته شد. برای ایجاد خلاً در محفظه از پمپ خلاً دو مرحله‌ای (JB-285، ساخت کشور امریکا) با دبی ۲۸۵ لیتر بر دقیقه و حداقل فشار کاری ۲ پاسکال استفاده شد. فشار محفظه به وسیله سنسور PSCH0001 BCIJ، ساخت کشور کره جنوبی) با دقیق ۰/۰۰۱ بار اندازه‌گیری شد و به وسیله سیستم کنترل فشار تعیین و کنترل گردید. نمونه‌ها در یک ظرف توری داخل محفظه قرار داده شدند و هر ۱۵ دقیقه به وسیله ترازوی دیجیتال با درجه

$$MR = \left(\frac{6}{\pi^2} \right) \exp \left(\frac{-D_{eff} \pi^2 t}{r^2} \right)$$

بعد از ساده شدن معادله ۵ را می‌توان به صورت خطی نوشت.
با لگاریتم‌گیری از طرفین معادله، می‌توان آن را به صورت
معادله خطی ۶ نوشت [۱۴]:

$$\ln(MR) = \ln \left(\frac{M - M_e}{M_0 - M_e} \right) = \ln \left(\frac{6}{\pi^2} \right) - \left(\frac{D_{eff} \pi^2 t}{r^2} \right)$$

با رسم لگاریتم طبیعی داده‌های به دست آمده نسبت به زمان، خطی با شیب K به دست می‌آید که از مساوی قراردادن این شیب با ضریب t در رابطه 6 ، ضریب پخش رطوبت موثر را می‌توان از رابطه ۷ به دست آورد:

$$K = \frac{\pi^2 D_{eff}}{r^2}$$

۴-۲- رنگ

یکی از مهم‌ترین شاخص کیفی ظاهری محصولات کشاورزی رنگ است. رنگ و تغییرات آن با بسیاری از خواص فیزیکی و شیمیایی محصولات ارتباط مستقیم دارند [۱۵]. میزان رنگ نمونه‌ها قبل و بعد از خشک شدن هر سری از نمونه‌ها به وسیله آنالایزر رنگ بر حسب پارامترهای مدل RGB (میزان قرمز، سبز و آبی بودن) به دست آمد. سپس مقادیر به دست آمده به وسیله نرم افزار فتوشاپ به پارامترهای مدل Lab تبدیل شدند. مدل رنگی Lab در سال ۱۹۷۶ به وسیله کمیسیون بین المللی روشنایی (CIE) به عنوان یک استاندارد بین المللی برای اندازه‌گیری رنگ مطرح شد. در این مدل رنگی L و a و b به ترتیب نشان دهنده میزان درخشندگی (با دامنه‌ای بین ۰ تا ۱۰۰)، میزان رنگ سبز به قرمز (با دامنه‌ای بین -۱۲۰ تا +۱۲۰) و میزان رنگ آبی به زرد (با دامنه‌ای بین -۱۲۰ تا +۱۲۰) بیان می‌شود. پارامترهای Lab به دست آمده از نرم افزار، ارزش‌های رنگی استاندارد نیستند. لذا به وسیله روابط ۸ و ۹ و ۱۰ قابل تبدیل به $L^* a^* b^*$ واقعی می‌باشند [۱۶].

$$L^* = \frac{Lightness}{255} \times 100$$

$$a^* = \frac{240a}{255} - 120$$

$$b^* = \frac{240b}{255} - 120$$

و M_o کوچک است، لذا معادله ۱ به صورت رابطه ۲ ساده می‌شود [۱۱].

$$MR = \frac{M}{M_o}$$

برای برآذش مدل‌های ریاضی خشک شدن لایه نازک جدول ۱، با داده‌های آزمایشی از محیط برآذش منحنی‌های نرم‌افزار MATLAB 2012 استفاده شد. برای تعیین بهترین مدل، از سه معیار ضریب تعیین (R^2 ، مربع کای (χ^2) و ریشه میانگین مربعات خطأ (RMSE) استفاده شد [۱۲]. برآذشی که خصوصیات خشک شدن جبهه‌ای انار را بهتر توصیف کند مدلی است که دارای بیشترین مقدار R^2 و کمترین مقادیر χ^2 و RMSE باشد.

۳-۲- ضریب نفوذ موثر رطوبت

در هر آزمایش ابعاد ۳۰ نمونه جبهه‌ای انار قبل و بعد از خشک کردن با استفاده از یک کولیس دیجیتال با دقت ۰/۰۱ میلی‌متر اندازه‌گیری شد. از آنجا که جبهه‌ای انار شیبی به کره هستند میانگین قطر هندسی از رابطه ۳ محاسبه شد.

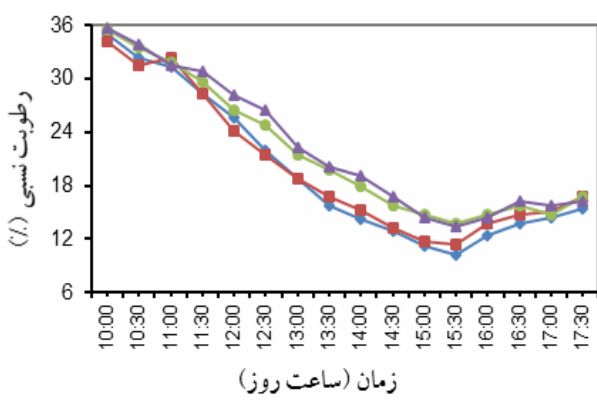
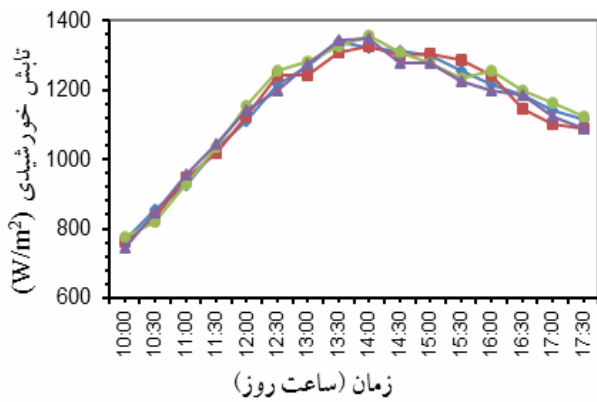
$$D = (A \times B \times C)^{\frac{1}{3}}$$

در این رابطه D قطر میانگین هندسی (متر) و A و B و C به ترتیب قطرهای بزرگ، متوسط و کوچک (متر) می‌باشند.

قطر هندسی به دست آمده برای محاسبه ضریب نفوذ موثر رطوبت به کار می‌رود. قانون دوم فیک که توسط کرانک برای شرایط لایه نازک در محصولات دایره‌ای شکل ارائه شد با فرض ناچیزبودن اثرات دما و مجموع گرادیان فشار می‌تواند انتقال رطوبت در مرحله نزولی فرآیند خشک کردن را توصیف کند [۱۳]. با فرض اینکه در فرآیند خشک کردن، پخش رطوبتی موثر ثابت و شعاعی است، می‌توان مقدار آن را از معادله ۴ محاسبه نمود:

$$MR = \frac{M - M_e}{M_0 - M_e} = \frac{6}{\pi^2} \sum_{n=1}^{\infty} \frac{1}{n^2} \exp \left(\frac{-D_{eff} n^2 \pi^2 t}{r^2} \right)$$

در این رابطه n تعداد جملات خشک شدن (۱، ۲، ۳، ...)، t زمان خشک شدن (ثانیه)، r شعاع هندسی جبهه‌ای انار (m) و D_{eff} ضریب پخش رطوبت موثر (m^2 / s) است. وقتی t افزایش می‌یابد، تمام جملات به غیر از جمله اول صفر می‌شوند. در نتیجه به شکل معادله ۵ ساده می‌شود:



شکل ۲ مقایسه شدت تابش و رطوبت محیط در روزهای مختلف برای فشارهای مطلق ۱۰، ۲۰، ۴۰ و ۵۶ کیلو پاسکال

۲-۳- شرایط محیط و دمای محفظه خشک کن

شکل ۳ درجه حرارت محیط و دمای جمع کننده خورشیدی را در روزهای مختلف آزمایش برای خشک کردن حبہ های انار نشان می دهد. تمام آزمایش ها از ساعت ۱۰:۰۰ شروع شد و جایگاه جمع کننده خورشیدی در طی تمام آزمایش ها ثابت بود. رطوبت نسبی در نیمه اول روز بیشتر از نیمه دوم بود و با گذشت زمان رو به کاهش گذاشت. درجه حرارت هوا در نیمه اول روز به تدریج افزایش یافت و در ساعت ۱۲:۰۰ به بیشترین میزان خود رسید و سپس رو به کاهش گذاشت. روند تغییرات دمای هوای مخزن جمع کننده خورشیدی مانند دمای هوای محیط بود.

مقدار روشنایی در پنجره هیستوگرام نرم افزار فتوشاپ موجود می باشد. تغییرات کلی رنگ (ΔE) نمونه ها با استفاده از رابطه

$$11 \text{ بر حسب پارامترهای رنگی } L^* a^* b^* \text{ محاسبه شد.}$$

$$\Delta E = \sqrt{(L_0^* - L_t^*)^2 + (a_0^* - a_t^*)^2 + (b_0^* - b_t^*)^2}$$

در این رابطه L_0^*, a_0^*, b_0^* مقادیر اولیه پارامترهای رنگی و L_t^*, a_t^*, b_t^* مقادیر پارامترهای رنگی حبہ های انار پس از خشک شدن می باشند.

۵-۲- چروکیدگی

در طول فرآیند خشک شدن به دلیل خروج رطوبت از مواد غذایی، پدیده چروکیدگی اتفاق می افتد و همین امر بر روی ویژگی های فیزیکی مواد جامد و پدیده انتقال جرم اثر می گذارد. حجم حبہ های انار قبل از خشک کردن با استفاده از رابطه ۱۲ به دست آمد:

$$V_b = \frac{4}{3} \pi \left(\frac{D}{2} \right)^3$$

و در نهایت درصد چروکیدگی از رابطه ۱۳ محاسبه شد [۱۷].

$$S_b = \left(1 - \frac{V}{V_b} \right) \times 100$$

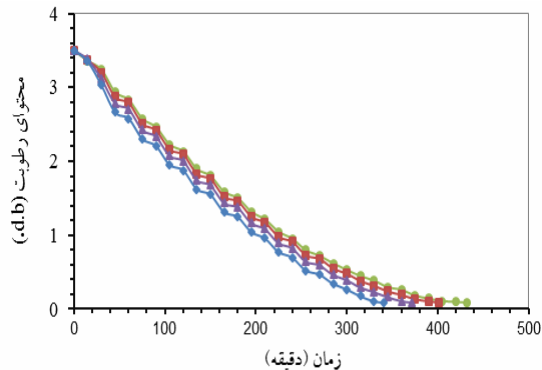
در این رابطه S_b درصد چروکیدگی، V_b و V حجم حبہ های انار (بر حسب متر مکعب) به ترتیب قبل و بعد از خشک کردن است.

۳- نتایج و بحث

۳-۱- شدت تابش خورشید

میزان تابش خورشیدی بین ۷۶۵ تا 1309 W/m^2 در طول دوره خشک کردن متغیر بود. تغییرات تابش خورشید در شکل ۲ در طول روزهای مختلف نشان داده شده است. روند افزایش و کاهش میزان تابش خورشیدی مشابه روند تابش خورشیدی در خشک کردن لونگان پوست کنده می باشد [۱۸]. رطوبت نسبی محیط در شکل ۲ نشان داده شده است. رطوبت نسبی در نیمه اول روز بیشتر از نیمه دوم بود و با گذشت زمان رو به کاهش گذاشت.

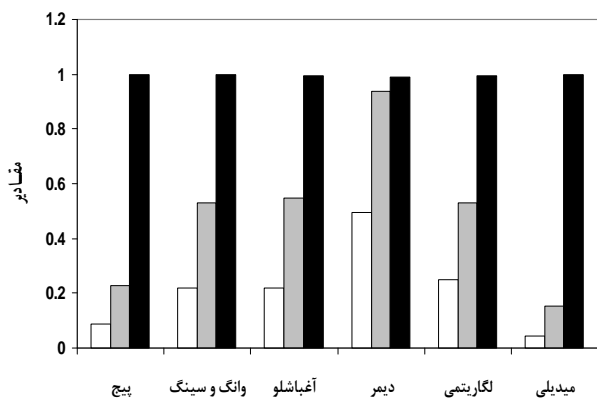
فشار مطلق، دمای تبخیر آب کاهش یافت که سبب افزایش نرخ تبخیر در مرحله خلاً و انتقال رطوبت از لایه‌های داخلی به سطح جبههای انار شده و افزایش تبخیر در مرحله گرمایش خورشیدی بیشتر شد.



شکل ۴ نمودار محتوای رطوبت بر حسب زمان برای فشارهای مطلق ۱۰، ۲۰، ۴۰، ۶۰ کیلو پاسکال در خشک کن خلاً - خورشیدی

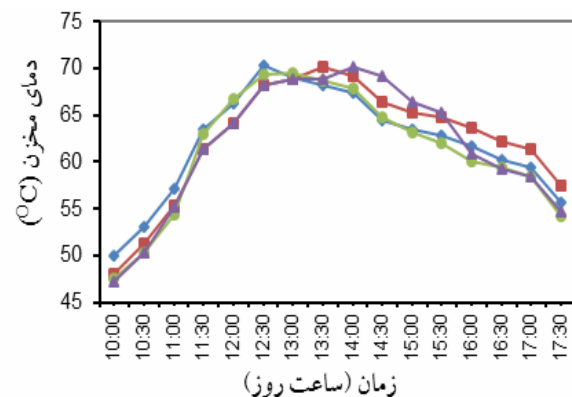
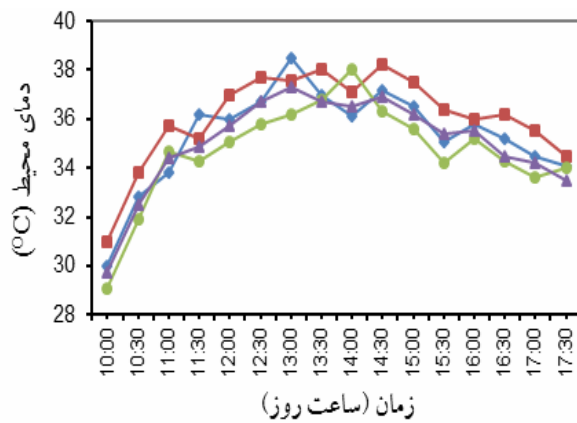
۴-۳- مدل‌سازی سیستیک خشک شدن

ابتدا محتوای رطوبت داده‌ها در طی فرآیند خشک کردن به نسبت رطوبت تبدیل شدند. سپس به وسیله نرم افزار مطلب مدل‌های ریاضی جدول ۱ بر داده‌ها برازش داده شدند. میزان میانگین برازش داده‌های تجربی روند کاهش رطوبت جبههای انار با مدل‌های ریاضی در فشارهای مختلف خشک کن خلاً- خورشیدی در شکل ۵ ارائه شده است.



شکل ۵ میانگین برازش داده‌های تجربی روند کاهش رطوبت جبههای انار با مدل‌های ریاضی در فشارهای مختلف خشک کن خلاً-

$$\boxed{RSME} = \frac{\chi^2}{25}$$



شکل ۳ مقایسه دمای محیط و دمای مخزن جمع کننده خورشیدی در روزهای مختلف برای فشارهای مطلق ۱۰، ۲۰، ۴۰، ۶۰ کیلو پاسکال

۳-۳- سیستیک خشک شدن

منحنی‌های محتوای رطوبت بر حسب زمان خشک شدن نمونه‌های جبهی انار تحت فشارهای خلاً در شکل ۴ نشان داده شده است. زمان مورد نیاز برای رساندن رطوبت جبههای انار از ۳/۵ به ۰/۹٪ بر پایه خشک در فشارهای مطلق ۱۰، ۲۰، ۴۰، ۶۰ کیلو پاسکال به ترتیب ۳۴۱، ۳۷۲، ۴۰۱ و ۴۳۲ دقیقه بود. میزان کاهش رطوبت در مرحله خورشیدی نسبت به مرحله خلاً بیشتر است. در مرحله خورشیدی هوای گرم با فشار اتمسفر توانایی بالایی در جذب رطوبت محصول دارد. در مرحله خلاً رطوبت محصول، انرژی ذخیره شده در مرحله خورشیدی را جذب کرده و تبخیر شد. این پدیده سبب کاهش دمای محصول گردید. با کاهش فشار مطلق، میزان کاهش رطوبت در هر دو مرحله افزایش یافت. نتایج مشابهی در خشک کردن هویج [۱۹]، تکه‌های موز [۲۰] و برش‌های قارچ [۲۱] در خشک کن‌های خلاً به دست آمده است. با کاهش

مترمربع بر ثانیه بود. مقادیر این ضریب برای خشک کردن جبه-ی انار $10^{-1} \times 10^{-9}$ تا $10^{-9} \times 10^{-4}$ مترمربع بر ثانیه [۲۳]، برش‌های آنبه $10^{-9} \times 10^{-1}$ تا $10^{-9} \times 10^{-1}$ مترمربع بر ثانیه [۸] و برش‌های پیاز $10^{-10} \times 10^{-12}$ تا $10^{-9} \times 10^{-10}$ مترمربع بر ثانیه [۲۴] گزارش شد. به علت بالابودن درصد آب آزاد جبه‌های انار، کاهش فشار خلاً سبب افزایش ضریب پخش رطوبت موثر شد. رابطه رگرسیون بین ضریب پخش رطوبت خورشیدی را می‌توان با رابطه ۱۴ نشان داد.

$$D_{eff} = -6 \times 10^{-11} \ln(P) + 5 \times 10^{-10}$$

$$R^2 = 0.8846$$

در این رابطه P فشار مطلق خلاً بر حسب کیلو پاسکال می‌باشد.

مدل میدیلی با بیشترین میانگین مقدار $R^2 (0.9996)$ و کمترین میانگین مقدارهای $\chi^2 (0.0016)$ و RMSE (0.0061) توانست نسبت به سایر مدل‌ها روند خشک شدن لایه نازک جبه‌های انار را بهتر پیش‌بینی کند. نتیجه مشابهی در خشک کردن انار حاصل شده است [۲۲] ضرایب مدل میدیلی در جدول ۲ ارائه شده است.

۳-۵-۳- ضریب پخش رطوبت موثر

مقادیر ضریب پخش رطوبت موثر در فشارهای مختلف خشک کردن با استفاده از معادله ۷ محاسبه شد. مقادیر برآورده شده در جدول ۳ ارائه شده است. نتایج نشان داد کاهش فشار مطلق سبب افزایش مقدار ضریب پخش رطوبت موثر شد. مقادیر ضریب پخش رطوبت موثر جبه‌های انار در خشک کن خلاً- خورشیدی بین $10^{-10} \times 10^{-13}$ تا $10^{-10} \times 10^{-13}$ می‌باشد.

جدول ۱ مدل‌های مورد استفاده برای برآذش داده‌های تجربی

منابع	رابطه مدل	نام مدل
[۲۸]	$MR = \exp(-k \cdot t)^n$	پیچ
[۲۹]	$MR = 1 + a \cdot t + b \cdot t^2$	وانگ و سینگ
[۲۷]	$MR = \exp(-a \cdot t / (1 + bt))$	آغباشلو
[۳۰]	$MR = a \cdot \exp(-k \cdot t)^n + b$	دیمر
[۲۹]	$MR = a \cdot \exp(-k \cdot t) + c$	لگاریتمی
[۳۰]	$MR = a \cdot \exp(-k \cdot t^n) + bt$	میدیلی

جدول ۲ ضرایب مدل میدیلی برای فشارهای مختلف خشک کردن جبه‌های انار در خشک کن خلاً- خورشیدی

χ^2	RSME	R^2	n	k	b	a	فشارهای مطلق (کیلو پاسکال)
۰/۰۰۱۸	۰/۰۰۶۷	۰/۹۹۹۵	۱/۱۲۴	۰/۰۰۵۴	-۰/۰۰۰۷۴	۰/۹۹۸۷	۱۰
۰/۰۰۱۶	۰/۰۰۵۸	۰/۹۹۹۷	۱/۱۳۲	۰/۰۰۰۵۹	-۰/۰۰۰۷۱	۰/۹۹۵۶	۲۰
۰/۰۰۱۷	۰/۰۰۶۲	۰/۹۹۹۶	۱/۱۴۱	۰/۰۰۰۶۳	-۰/۰۰۰۶۳	۰/۹۹۴۳	۴۰
۰/۰۰۱۵	۰/۰۰۵۹	۰/۹۹۹۷	۱/۲۱۸	۰/۰۰۰۷۲	-۰/۰۰۰۵۳	۰/۹۹۲۳	۶۰

جدول ۳ ضریب نفوذ موثر، تغییرات کلی رنگ و درصد چروکیدگی جبه‌های انار در شرایط مختلف خشک کن خلاً- خورشیدی

فشارهای مطلق (کیلو پاسکال)	D_{eff} (متر مربع بر ثانیه)	ΔE	چروکیدگی (%)
$10^{-10} \times 10^{-10}$	$10^{-10} \times 10^{-10}$	$10^{-10} \times 10^{-10}$	۰
۲۲/۱	۲۰/۴	۱۹/۲	۱۷/۴
۷۴/۴۵	۷۲/۲۳	۷۰/۸۹	۶۷/۵۸

۳-۶- رنگ

تغییرات کلی رنگ (ΔE) با استفاده از رابطه ۱۱ محاسبه شد و در جدول ۳ آرایه شده است. تغییرات کلی رنگ جبهه‌های انار در فشارهای مختلف خلاً بین $17/4$ تا $22/1$ بود. با کاهش فشار خلاً تغییرات کلی رنگ کاهش یافت. در فرآیندهای حرارتی مواد غذایی، تعدادی واکنش شیمیایی رخ می‌دهد که یکی از شناخته شده‌ترین آنها واکنش میلارد [۲۵] که عامل قهقهه‌ای شدن غیر آنزیمی است. واکنش میلارد شامل واکنش یک آلدید و آمین (معمولًاً یک پروتئین یا آمینو اسید) می‌باشد و بسیار وابسته به دما است. در خشک کن خلاً- خورشیدی در مرحله خلا، دمای محصول با تبخیر رطوبت کاهش می‌یابد. با این روش محصول در مدت زمان طولانی در دماهای بالا قرار نخواهد گرفت که به این ترتیب از واکنش‌های شدید شیمیایی و تغییر رنگ زیاد دانه‌ها جلوگیری می‌شود، لذا تغییرات کلی رنگ کاهش می‌یابد. رابطه رگرسیون بین تغییرات کلی رنگ جبهه‌های انار و فشارهای مطلق خشک کن خلاً- خورشیدی را می‌توان با رابطه ۱۵ نشان داد.

$$\Delta E = 0.0876 \times P + 16.927$$

$$R^2 = 0.9625$$

۷- چروکیدگی

درصد چروکیدگی جبهه‌های انار تحت فشارهای مختلف خشک کن خلاً- خورشیدی در جدول ۳ نشان داده شده است. چروکیدگی جبهه‌های انار در خشک کن خلاً- خورشیدی بین $67/58$ ٪ تا $74/45$ ٪ بود. در حالی که مقدار آن برای مواد غذایی با مقدار رطوبت زیاد مانند میوه‌ها و سبزیجات بین 70 ٪ تا 90 ٪ است [۲۶]. در فرآیند خشک شدن هنگامی که آب به تدریج از مواد غذایی خارج می‌شود، عدم تعادل فشار بین درون و بیرون مواد غذایی سبب اعمال تنش بر محصول شده و منجر به انقباض، تغییر شکل و گاهی اوقات ترک خوردگی محصول می‌گردد [۲۷]. با کاهش فشار مطلق، میزان چروکیدگی محصول کاهش می‌یابد. رابطه رگرسیون بین چروکیدگی جبهه‌های انار و فشارهای مطلق خشک کن خلاً- خورشیدی را می‌توان با رابطه ۱۶ نشان داد.

$$S_b = 0.1237 \times P + 67.268$$

$$R^2 = 0.91$$

- [20] Swasdisevi, T., Devahastin, S., Saadchom, P. and Soponnarit, S. (2009). Mathematical modeling of combined far-infrared and vacuum drying banana slice. *Journal of Food Engineering*, 92(1): 100–106.
- [21] Giri, S.K. and Prasad, S. (2007). Drying kinetics and rehydration characteristics of microwave-vacuum and convective hot-air dried mushrooms. *Journal of Food Engineering*, 78(2): 512–521.
- [22] Motevali, A., Minaei, S. Khoshtaghaza, M.H., Kazemi, M. and Nikbakht, A.M. (2010). Drying of pomegranate arils: comparison of predictions from mathematical models and neural networks. *Journal of Food Engineering*, 96(3): 1556–1578.
- [23] Minaei, S., Motevali, A., Najafi, G. and Seyed, S.R.M. (2012). Influence of drying methods on activation energy, effective moisture diffusion and drying rate of pomegranate arils (*Punica Granatum*). *Australian Journal of Crop Science*, 6(4): 586–591.
- [24] Mitra, J., Shrivastava, S.L. and Srinivasarao, P. (2011). Vacuum dehydration kinetics of onion slices. *Food and Bioproducts Processing*, 89(4): 1–9.
- [25] Milton, S.F. (1985). Some aspects of the chemistry of non-enzymatic browning (the maillard reaction), in chemical changes in food during processing, edited by Richardson, T, AVI Publishing Co. pp. 289–303.
- [26] May, B.K. and Pere, P. (2002). The importance of considering exchange surface area reduction to exhibit a constant drying flux period in foodstuffs. *Journal of Food Engineering*, 54(4): 271–282.
- [27] Mayor, L. and Sereno, A.M. (2006). Modelling shrinkage during convective drying of food materials: a review. *Journal of Food Engineering*, 61(3): 373–386.
- [28] Ruiz Diaz, G., Martinez-Monzo, P. and Chiralt, A. (2003). Modelling of dehydration-rehydration of orange slices in combined microwave-air drying. *Innovative Food Science and Emerging Technologies*, 4(1): 203–209.
- [29] Amiri Chayjan, R., Alaei, B. (2013). Characteristics of thin layer microwave drying of apricot. *Electronic Journal of Polish Agricultural Universities*, 16(4): paper #12.
- [30] Bantle, M., Kafer, T. and Eikevik, T.M. (2013). Model and process simulation of microwave assisted convective drying of clip fish. *Applied Thermal Engineering*, 59(1-2): 675–682.
- [8] Jaya, S. and Das, H. (2003). A vacuum drying model for mango pulp. *Drying Technology*, 21(7): 1215–1234.
- [9] Pere, C. and Rodier, E. (2002). Microwave vacuum drying of porous media: experimental study and qualitative considerations of internal transfers. *Chemical Engineering Process*, 41(5): 427–436.
- [10] Motevali, A. and Minaei, S. (2012). Effects of microwave pretreatment on the energy and exergy utilization in thin-layer drying of sour pomegranate arils. *Chemical Industry & Chemical Engineering Quarterly*, 18(1): 63–72.
- [11] Minaei, S., Motevali, A., Ahmadi, E. and Azizi, M.H. (2012). Mathematical models of drying pomegranate arils in vacuum and microwave dryers. *Journal of Agricultural Science and Technology*, 14(2): 311–325.
- [12] Celma, A. Cuadros, F. and Rodriguez, L. (2008). Characterisation of industrial tomato by-products from infrared drying process. *Food and Bioproducts Processing*, 87(4): 282–291.
- [13] De Matteo, M., Cinquanta, A. L., Galiero, G. and Crescitelli, S. (2000). Effet of novel physical pretreatment process on the drying kinetics of seedless grapes. *Journal of Food Engineering*, 46(2): 83–89.
- [14] Akpinar, E., Midilli, A. and Bicer, Y. (2003). Single layer drying behavior of potato slices in a convective cyclone and mathematical modeling. *Energy Conversion and Management*, 44(7): 1689–1705.
- [15] Koca, N. Burdurlu, H.S. and Karadeniz, F. (2007). Kinetics of colour changes in dehydrated carrots. *Journal of Food Engineering*, 78(2): 449–455.
- [16] Yam, K.L. and Papadakis, S.E. (2004). A simple digital imaging method for measuring and analyzing color of food surfaces. *Journal of Food Engineering*, 61(1): 137–142.
- [17] Demir, V., Gunhan, T., Yagcioglu, A.K. and Degirmencioglu, A. (2004). Mathematical modeling and determination of some quality parameters of air-dried bay leaves. *Biosystems Engineering*, 88(3): 325–335.
- [18] Janjai, S., Lamert, N., Intawee, P., Mahayothee, B., Bala, B. K., Nagle, M. and Muller, J. (2009). Experimental and simulated performance of a PV-ventilated solar greenhouse dryer for drying of peeled longan and banana. *Solar Energy*, 83(9): 1550–1565.
- [19] Cui, Z.W., Xu, S.Y. and Sun, D.W. (2004). Microwave-vacuum drying kinetics of carrot slices. *Journal of Food Engineering*, 65(2): 157–164.

Study on thin layer drying parameters of pomegranate arils in a solar-vacuum dryer

Alaei, B.¹, Chayjan, R.^{2*}

1. MSc Student, Department of Biosystems Engineering, Faculty of Agriculture, Bu-Ali Sina University, Hamedan, Iran.
2. Associate Professor, Department of Biosystems Engineering, Faculty of Agriculture, Bu-Ali Sina University, Hamedan, Iran.

(Received: 91/9/23 Accepted: 92/4/8)

In this research a new laboratory solar-vacuum dryer was designed and fabricated to study drying behavior of pomegranate arils with heat source of solar energy. Drying of the samples was implemented at the absolute pressures of 10, 20, 40 and 60 kPa. Impact of different absolute pressures on moisture loss trend, effective moisture diffusivity, color and shrinkage of pomegranate arils, dried in solar-vacuum dryer was studied. With regression analysis of the applied models, proved that the Midilli model had supremacy in drying behavior prediction of pomegranate arils. Results indicated that with decreasing absolute pressure, drying time was decreased. Minimum drying time was related to the absolute pressure of 10 kPa. Effective moisture diffusivity of the pomegranate arils was estimated at the ranges of 3.09×10^{-10} to 4.13×10^{-10} m²/s. Total color changes and shrinkage percent of the pomegranate arils were estimated at the ranges of 17.4 to 22.1 and 67.58% to 74.45%, respectively.

Keywords: Solar-vacuum dryer, Pomegranate aril, Color, Shrinkage, Effective moisture diffusivity

* Corresponding Author E-Mail Address: amirireza@basu.ac.ir